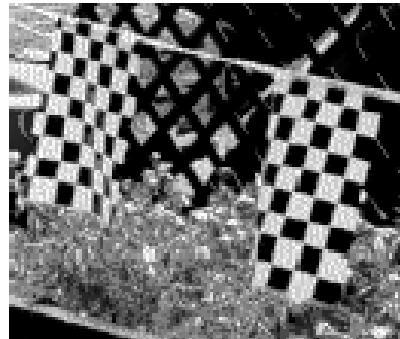


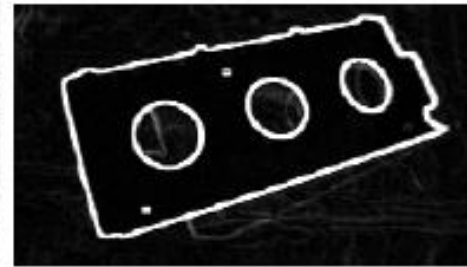
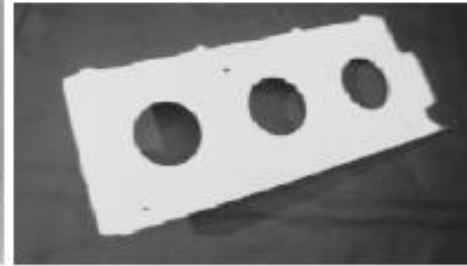
# 5º CAPÍTULO

## Pré-Processamento de Imagem

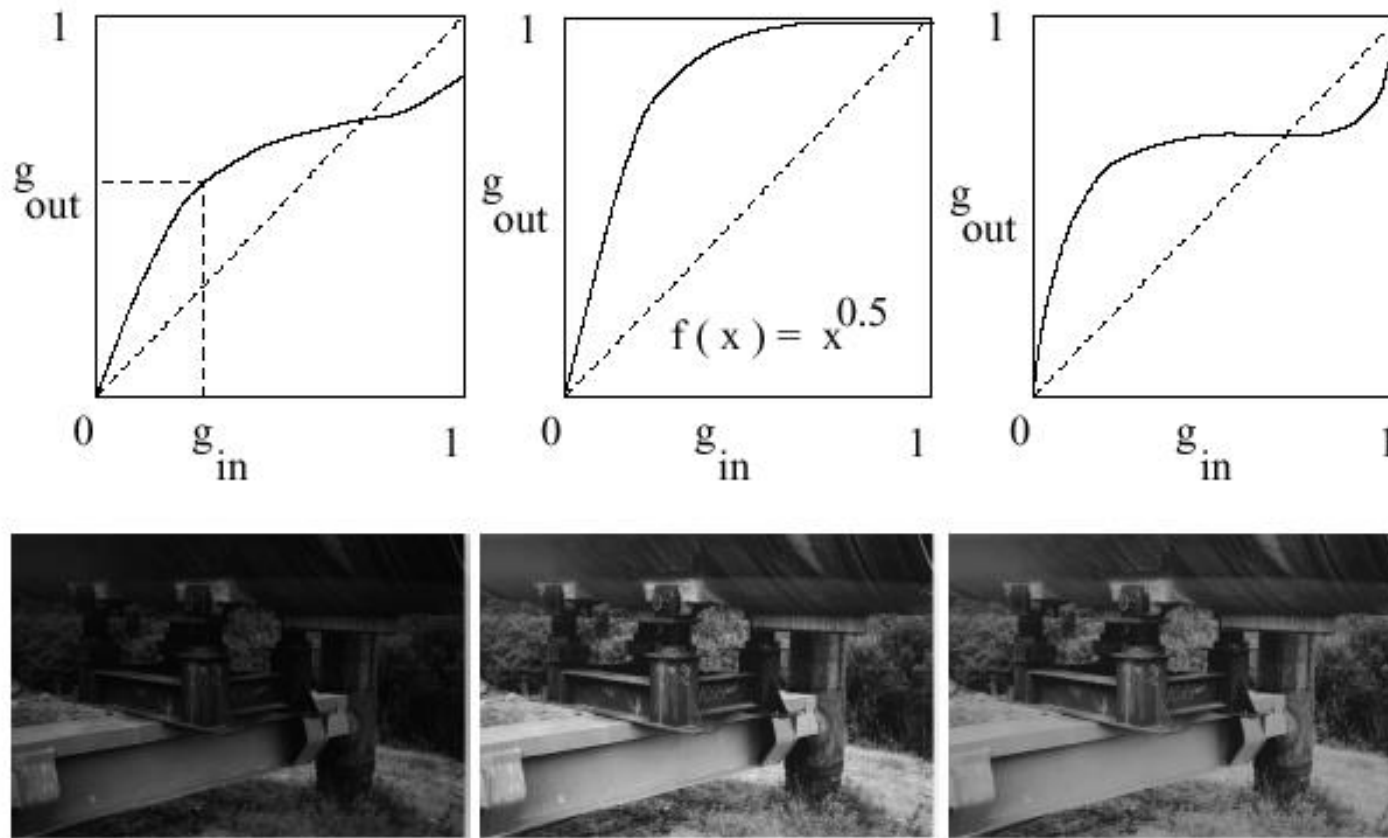


# Necessidade de pré-processamento

---

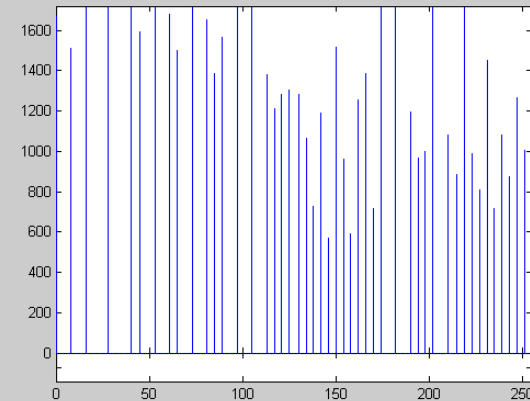
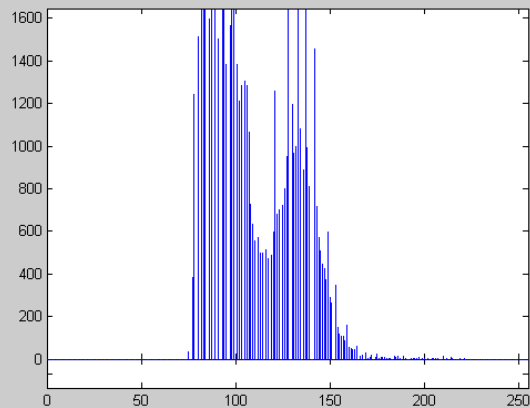


# Transformação de níveis de cinzento



- Correção gama  $\longrightarrow f(x) = O_{\min} + \frac{O_{\max} - O_{\min}}{(I_{\max} - I_{\min})^\gamma} (x - I_{\min})^\gamma$

# Equalização de histograma



# Remover pequenas regiões



← Remoção de ruído salt & pepper

1	1	1
1	0	1
1	1	1

⇒

1	1	1
1	1	1
1	1	1

;

0	0	0
0	1	0
0	0	0

⇒

0	0	0
0	0	0
0	0	0

X	X	X
X	L	X
X	X	X

⇒

X	X	X
X	X	X
X	X	X

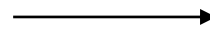
;

	X	
X	L	X
	X	

⇒

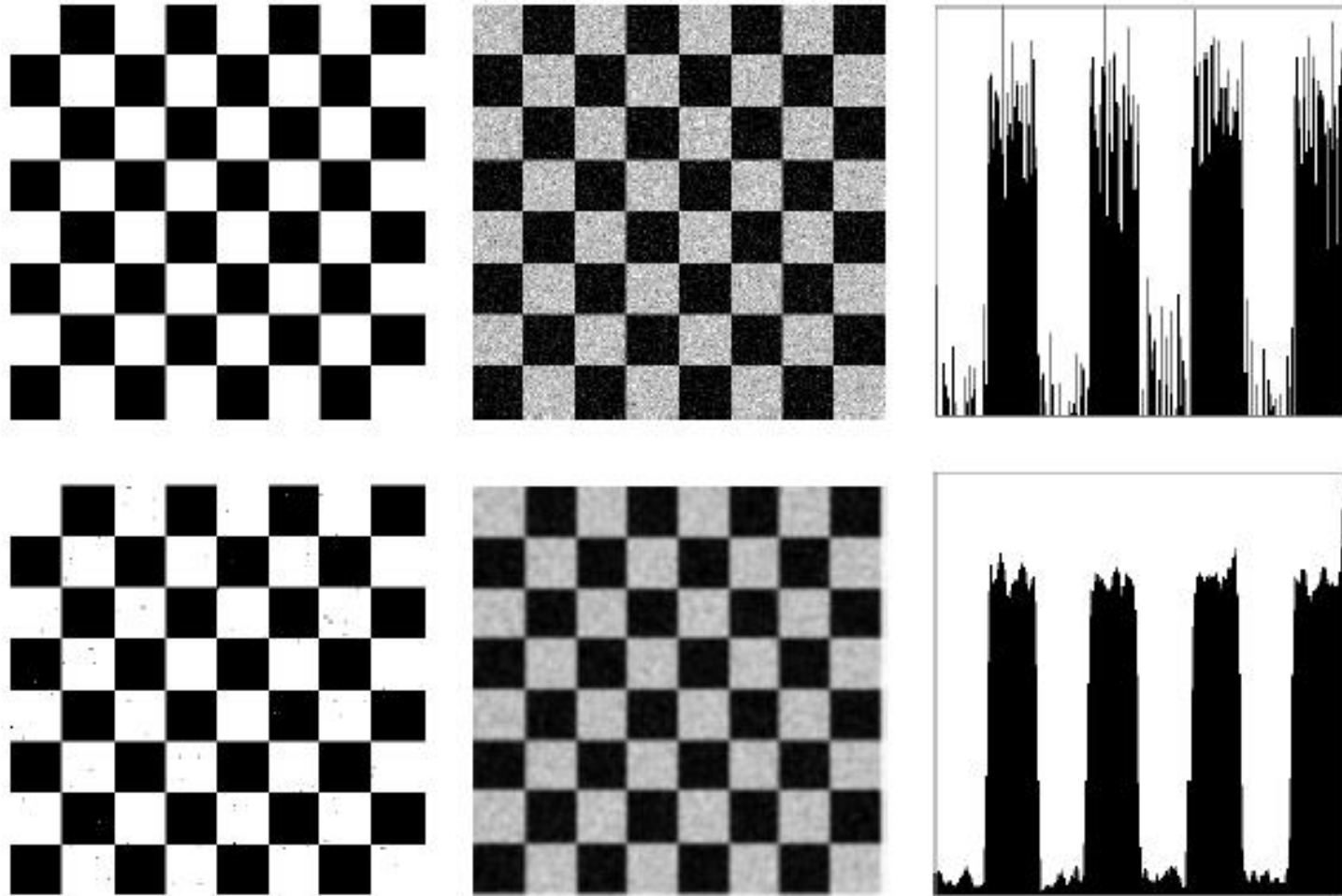
	X	
X	X	X
	X	

Remoção de componentes conexos  
cuja área é pequena



# Necessidade de operação de suavização

---



- Suavização (filtragem passa-baixo) de imagem
  - filtro de média (*box filter*)

$$O(r, c) = \left( \sum_{i=-N}^N \sum_{j=-N}^N I(r+i, c+j) \right) / (2N+1)^2$$

- filtro gaussiano

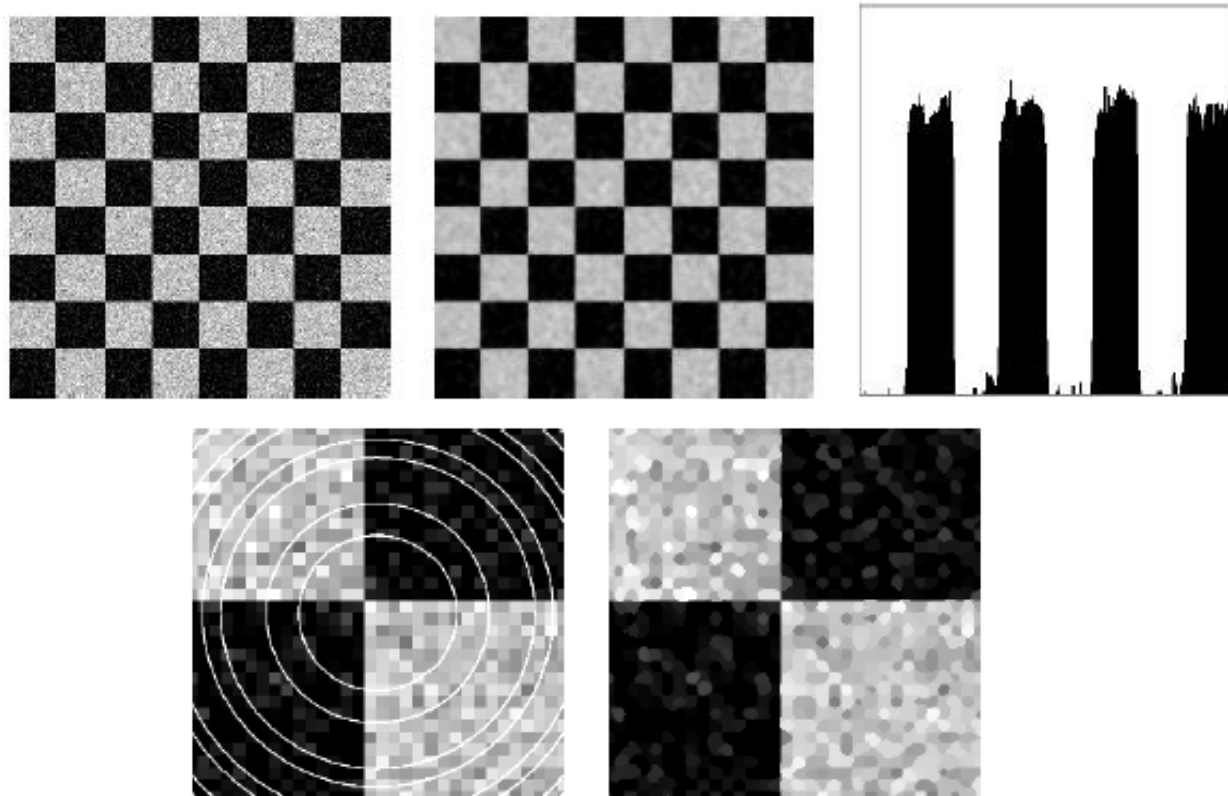
$$O(r, c) = \sum_{i=-N}^N \sum_{j=-N}^N g(i, j) I(r+i, c+j)$$

$$g(x, y) = \frac{1}{\sqrt{2\pi}\sigma} e^{-\frac{d^2}{2\sigma^2}}$$

$$d = \sqrt{(x - x_c)^2 + (y - y_c)^2}$$

- Seja  $A[i]_{i=0, \dots, n-1}$  uma lista ordenada de números reais. A mediana do conjunto  $\mathbf{A}$  é o valor  $A[(n-1)/2]$

– Exemplos





# Filtragem temporal com filtro de mediana

---



Filtragem de Mediana da Sequência



**Compute output image pixel  $G[r,c]$  from neighbors of input image pixel  $F[r,c]$ .**

**$F[r,c]$**  is an input image of MaxRow rows and MaxCol columns;

**$F$**  is unchanged by the algorithm.

**$G[r,c]$**  is the output image of MaxRow rows and MaxCol columns.

The border of  **$G$**  are all those pixels whose neighborhoods  
are not wholly contained in  **$G$** .

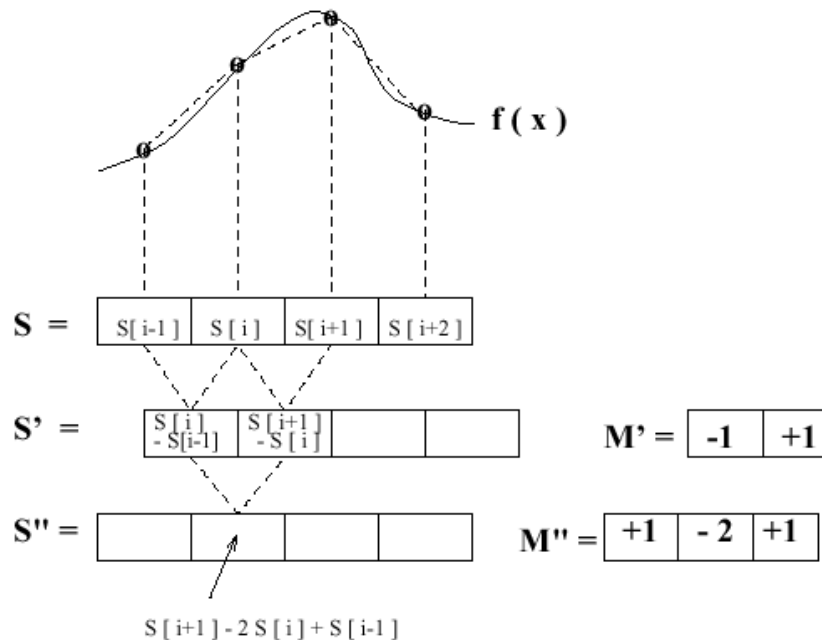
$w$  and  $h$  are the width and height, in pixels, defining a neighborhood.

```
procedure enhance_image(F,G,w,h);
{
  for r := 0 to MaxRow - 1
    for c := 0 to MaxCol - 1
      {
        if [r,c] is a border pixel then G[r,c] := F[r,c];
        else G[r,c] := compute_using_neighbors ( F, r, c, w, h );
      };
}
procedure compute_using_neighbors ( IN, r, c, w, h )
{
  using all pixels within w/2 and h/2 of pixel IN[r,c],
  compute a value to return to represent IN[r,c]
}
```

# Detecção de transições (*edges*)

- Operadores diferenciais de sinais 1D

$$f'(x_i) \approx \frac{f(x_i) - f(x_{i-1})}{x_i - x_{i-1}}$$



Máscara 1D centrada



mask  $M = [-1, 0, 1]$

$S_1$			12	12	12	12	12	24	24	24	24	24
$S_1$	$\otimes$	$M$	0	0	0	0	12	12	0	0	0	0

(a)  $S_1$  is an upward step edge

$S_2$			24	24	24	24	24	12	12	12	12	12
$S_2$	$\otimes$	$M$	0	0	0	0	-12	-12	0	0	0	0

(b)  $S_2$  is a downward step edge

$S_3$			12	12	12	12	15	18	21	24	24	24
$S_3$	$\otimes$	$M$	0	0	0	3	6	6	6	3	0	0

(c)  $S_3$  is an upward ramp

$S_4$			12	12	12	12	24	12	12	12	12	12
$S_4$	$\otimes$	$M$	0	0	0	12	0	-12	0	0	0	0

(d)  $S_4$  is a bright impulse or "line"

mask  $M = [-1, 2, -1]$

$S_1$			12	12	12	12	12	24	24	24	24	24
$S_1$	$\otimes$	$M$	0	0	0	0	-12	12	0	0	0	0

(a)  $S_1$  is an upward step edge

$S_2$			24	24	24	24	24	12	12	12	12	12
$S_2$	$\otimes$	$M$	0	0	0	0	12	-12	0	0	0	0

(b)  $S_2$  is a downward step edge

$S_3$			12	12	12	12	15	18	21	24	24	24
$S_3$	$\otimes$	$M$	0	0	0	-3	0	0	0	3	0	0

(c)  $S_3$  is an upward ramp

$S_4$			12	12	12	12	24	12	12	12	12	12
$S_4$	$\otimes$	$M$	0	0	0	-12	24	-12	0	0	0	0

(d)  $S_4$  is a bright impulse or "line"

box smoothing mask  $M = [1/3, 1/3, 1/3]$

$S_1$			12	12	12	12	12	24	24	24	24	24
$S_1$	$\otimes$	$M$	12	12	12	12	16	20	24	24	24	24

(a)  $S_1$  is an upward step edge

$S_4$			12	12	12	12	24	12	12	12	12	12
$S_4$	$\otimes$	$M$	12	12	12	16	16	16	12	12	12	12

(d)  $S_4$  is a bright impulse or "line"

Gaussian smoothing mask  $M = [1/4, 1/2, 1/4]$

$S_1$			12	12	12	12	12	24	24	24	24	24
$S_1$	$\otimes$	$M$	12	12	12	12	15	21	24	24	24	24

(a)  $S_1$  is an upward step edge

$S_4$			12	12	12	12	24	12	12	12	12	12
$S_4$	$\otimes$	$M$	12	12	12	15	18	15	12	12	12	12

- Operadores diferenciais
  - as coordenadas das máscaras tem sinais opostos para que se obtenha uma resposta máxima quando existem transições de intensidade (contraste)
  - A soma dos valores é zero para que a resposta seja zero quando a região é constante
  - As máscaras de primeira derivada produzem valores absolutos elevados em pontos de grande contraste
  - As máscaras de segunda derivada produzem cruzamentos por zero em pontos de grande contraste
- Operadores de suavização
  - os elementos da máscara são positivos e somam um, de modo a que a saída é igual à entrada em regiões de constante intensidade
  - A quantidade de suavização e remoção de ruído é proporcional à dimensão da máscara
  - Transições abruptas (step edges) são tanto mais espalhadas (blurred) quanto maior for a dimensão da máscara

# Operadores diferenciais 2D

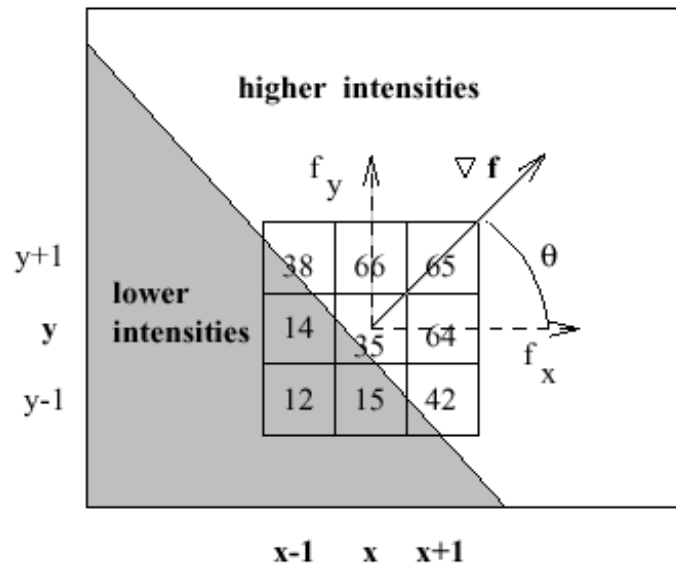
- Gradiente duma função

$$\nabla f = \left( \frac{\partial f}{\partial x}, \frac{\partial f}{\partial y} \right)$$

$$|\nabla f| \approx \sqrt{f_x^2 + f_y^2}$$

$$\theta \approx \tan^{-1}(f_y / f_x)$$

Exemplo:



$$f_y = \left( \frac{(38-12)/2 + (66-15)/2}{3} \right) = (13 + 25) / 3 = 16$$

$$f_x = \left( \frac{(65-38)/2 + (64-14)/2}{3} \right) = (13 + 25) / 3 = 18$$

$$\theta = \tan^{-1}(16 / 18) = 0.727 \text{ rad} = 42 \text{ degrees}$$

$$|\nabla f| = (16^2 + 18^2)^{1/2} = 24$$

Frequentemente ignora-se a divisão por 6 (constante que será a mesma para toda a imagem) para reduzir os cálculos, resultando em estimativas escaladas (6 vezes superiores) do gradiente

# Detectores de pontos de contorno

**Prewitt:**  $M_x = \begin{bmatrix} -1 & 0 & 1 \\ -1 & 0 & 1 \\ -1 & 0 & 1 \end{bmatrix}$  ;  $M_y = \begin{bmatrix} 1 & 1 & 1 \\ 0 & 0 & 0 \\ -1 & -1 & -1 \end{bmatrix}$

Qual a vizinhança?

**Sobel:**  $M_x = \begin{bmatrix} -1 & 0 & 1 \\ -2 & 0 & 2 \\ -1 & 0 & 1 \end{bmatrix}$  ;  $M_y = \begin{bmatrix} 1 & 2 & 1 \\ 0 & 0 & 0 \\ -1 & -2 & -1 \end{bmatrix}$

**Roberts:**  $M_x = \begin{bmatrix} 0 & 1 \\ -1 & 0 \end{bmatrix}$  ;  $M_y = \begin{bmatrix} 1 & 0 \\ 0 & -1 \end{bmatrix}$

Calcula o gradiente da vizinhança, não no pixel central

b) top 5% da soma dos valores absolutos das respostas às duas máscaras de Roberts

c) Top 5% v.q.m. das respostas às duas máscaras de Roberts

d) Top 2% da soma do valor absoluto das respostas à máscara na direção y [-1, +1]<sup>t</sup>

e) Top 3% da soma do valor absoluto das respostas à máscara na direção x [-1, +1]

f) (d) OR (e)



(a)



(b)



(c)



(d)



(e)



(f)

O detector de contornos de canny é muito popular e eficiente. Este algoritmo detecta os contornos utilizando pesquisa de máximos locais no valor do gradiente.

# Detector de contornos de Canny



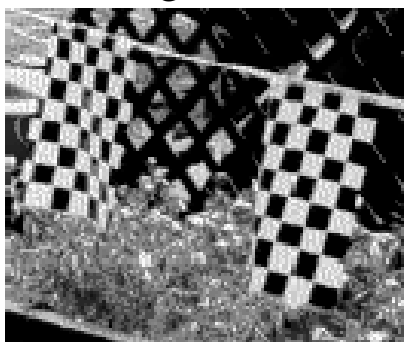
Original



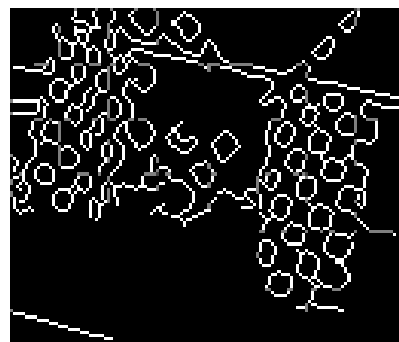
Canny ( $\sigma = 1$ )



Canny ( $\sigma = 4$ )



Original



Canny ( $\sigma = 1$ )



Roberts (20%)



Compute thin connected edge segments in the input image.

$I[x,y]$  : input intensity image;  $\sigma$  : spread used in Gaussian smoothing;

$E[x,y]$  : output binary image;

$IS[x,y]$  : smoothed intensity image;

$Mag[x,y]$  : gradient magnitude;  $Dir[x,y]$  : gradient direction;

$T_{low}$  is low intensity threshold;  $T_{high}$  is high intensity threshold;

**procedure** Canny(  $I[]$ ,  $\sigma$  );

```
{
     $IS[]$  = image  $I[]$  smoothed by convolution with Gaussian  $G_\sigma(x,y)$ ;
    use Roberts operator to compute  $Mag[x,y]$  and  $Dir[x,y]$  from  $IS[]$ ;
    Suppress_Nonmaxima(  $Mag[], Dir[], T_{low}, T_{high}$  );
    Edge_Detect(  $Mag[], T_{low}, T_{high}, E[]$  );
}

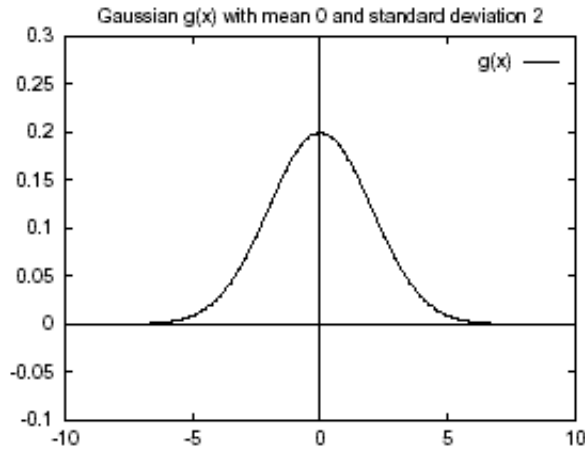
procedure Suppress_Nonmaxima(  $Mag[], Dir[]$  );
{
    define +Del[4] = (1,0), (1,1), (0,1) (-1,1);
    define -Del[4] = (-1,0), (-1,1), (0,-1) (1,-1);
    for x := 0 to MaxX-1;
    for y := 0 to MaxY-1;
    {
        direction := (  $Dir[x,y] + \pi/8$  ) modulo  $\pi/4$ ;
        if (  $Mag[x,y] \leq Mag[(x,y) + Del[direction]]$  ) then  $Mag[x,y] := 0$ ;
        if (  $Mag[x,y] \leq Mag[(x,y) + -Del[direction]]$  ) then  $Mag[x,y] := 0$ ;
    }
}

procedure Edge_Detect(  $Mag[], T_{low}, T_{high}, E[]$  );
{
    for x := 0 to MaxX - 1;
    for y := 0 to MaxY - 1;
    {
        if (  $Mag[x,y] \geq T_{high}$  ) then Follow_Edge(  $x,y, Mag[], T_{low}, T_{high}, E[]$  );
    } ;
}

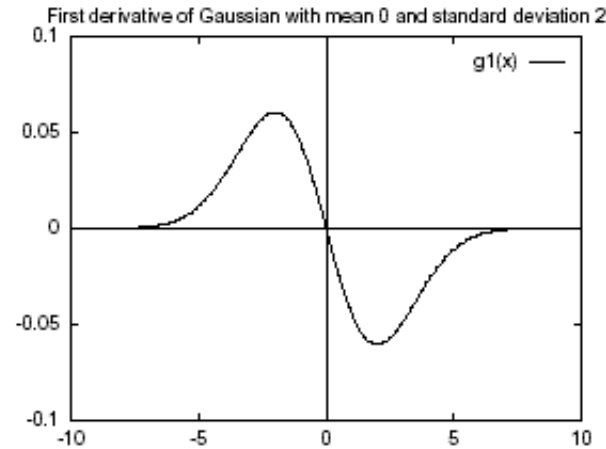
procedure Follow_Edge(  $x,y, Mag[], T_{low}, T_{high}, E[]$  );
{
     $E[x,y] := 1$ ;
    while  $Mag[u,v] > T_{low}$  for some 8-neighbor  $[u,v]$  of  $[x,y]$ 
    {
         $E[u,v] := 1$ ;
         $[x,y] := [u,v]$ ;
    } ;
}
```

**Algorithm 24:** Canny Edge Detector

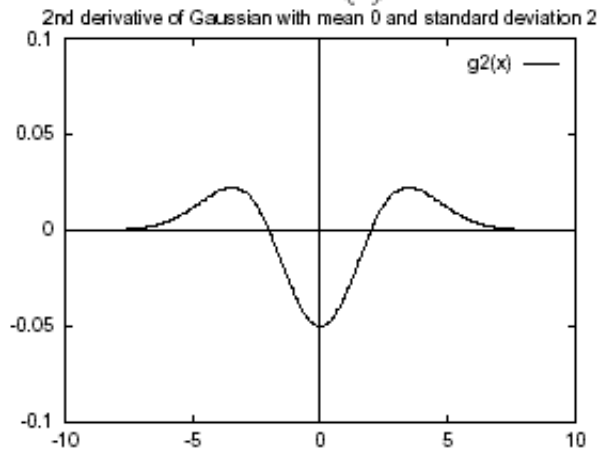
# Filtros gaussianos



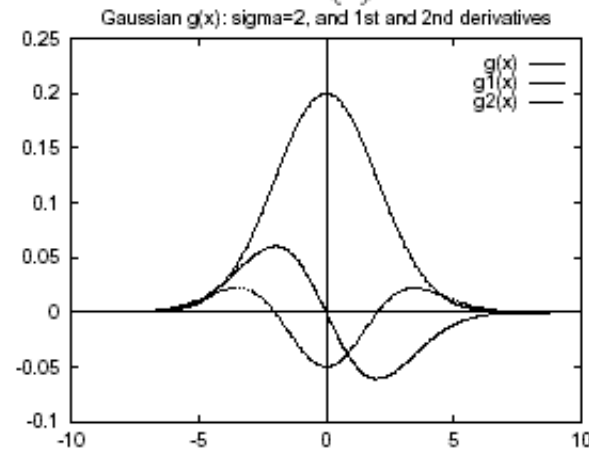
(a)



(b)



(c)



(d)

Caso 1D:

$$g(x) = \frac{1}{\sqrt{2\pi}\sigma} e^{-\frac{x^2}{2\sigma^2}}$$

$$g'(x) = \frac{-x}{\sigma^2} g(x)$$

$$g''(x) = \left( \frac{x^2}{\sigma^4} - \frac{1}{\sigma^2} \right) g(x)$$

Caso 2D:

$$h(x, y) = g(r)$$

$$r = \sqrt{x^2 + y^2}$$

c = 90: constante multiplicada a todos os elementos do filtro tal que o menor valor do filtro é 1

$$\mathbf{G}_{3 \times 3} = \begin{bmatrix} 1 & 2 & 1 \\ 2 & 4 & 2 \\ 1 & 2 & 1 \end{bmatrix};$$

$$\mathbf{G}_{7 \times 7} = \begin{bmatrix} 1 & 3 & 7 & 9 & 7 & 3 & 1 \\ 3 & 12 & 26 & 33 & 26 & 12 & 3 \\ 7 & 26 & 55 & 70 & 55 & 26 & 7 \\ 9 & 33 & 70 & 90 & 70 & 33 & 9 \\ 7 & 26 & 55 & 70 & 55 & 26 & 7 \\ 3 & 12 & 26 & 33 & 26 & 12 & 3 \\ 1 & 3 & 7 & 9 & 7 & 3 & 1 \end{bmatrix}$$

Figure 5.20: (Left) A 3×3 mask approximating a Gaussian obtained by matrix multiplication  $[1, 2, 1]^t \otimes [1, 2, 1]$ ; (Right) a 7 × 7 mask approximating a Gaussian with  $\sigma^2 = 2$  obtained by using Equation 5.16 to generate function values for integers  $x$  and  $y$  and then setting  $c = 90$  so that the smallest mask element is 1.

Some Useful Properties of Gaussians

1. Weight decreases smoothly to zero with distance from the origin, meaning that image values nearer the central location are more important than values that are more remote; moreover, the spread parameter  $\sigma$  determines how broad or focused the neighborhood will be. 95% of the total weight will be contained within  $2\sigma$  of the center.

2. Symmetry about the abscissa; flipping the function for convolution produces the same kernel.

3. Fourier transformation into the frequency domain produces another Gaussian form, which means convolution with a Gaussian mask in the spatial domain reduces high frequency image trends smoothly as spatial frequency increases.

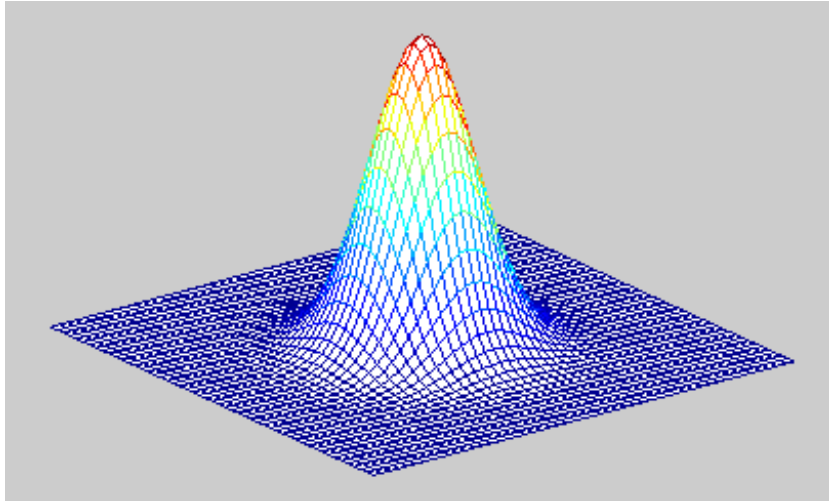
4. The second derivative of a 1D Gaussian  $g''(x)$  has a smooth center lobe of negative area and two smooth side lobes of positive area: the zero crossings are located at  $-\sigma$  and  $+\sigma$ , corresponding to the inflection points of  $g(x)$  and the extreme points of  $g'(x)$ .

5. A second derivative filter based on the Laplacian of the Gaussian is called a **LOG filter**. A LOG filter can be approximated nicely by taking the difference of two Gaussians  $g''(x) \approx c_1 e^{-\frac{x^2}{2\sigma_1^2}} - c_2 e^{-\frac{x^2}{2\sigma_2^2}}$ , which is often called a **DOG filter** (for **Difference Of Gaussians**). For a positive center lobe, we must have  $\sigma_1 < \sigma_2$ ; also,  $\sigma_2$  must be carefully related to  $\sigma_1$  to obtain the correct location of zero crossings and so that the total negative weight balances the total positive weight.

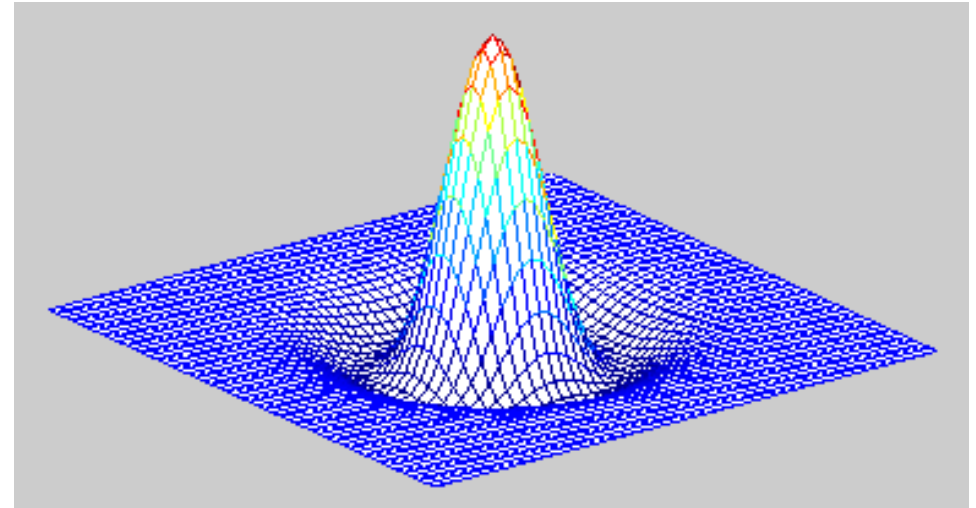
6. The LOG filter responds well to intensity differences of two kinds – small blobs coinciding with the center lobe, and large step edges very close to the center lobe.

# Detector de edges baseado na função Laplaciana – filtro LOG

$g(x, y)$



$$L(x, y) = \frac{\partial^2 g(x, y)}{\partial x^2} + \frac{\partial^2 g(x, y)}{\partial y^2}$$

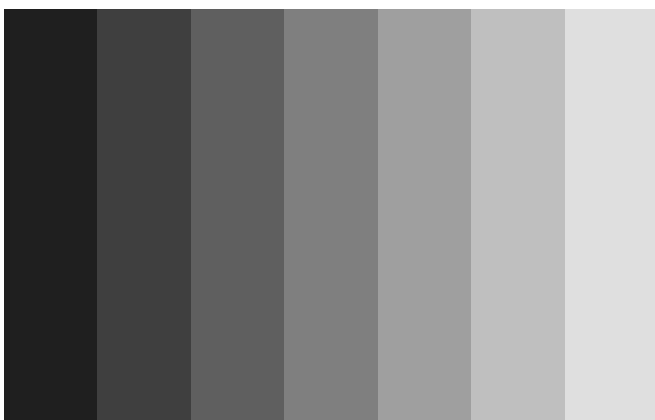
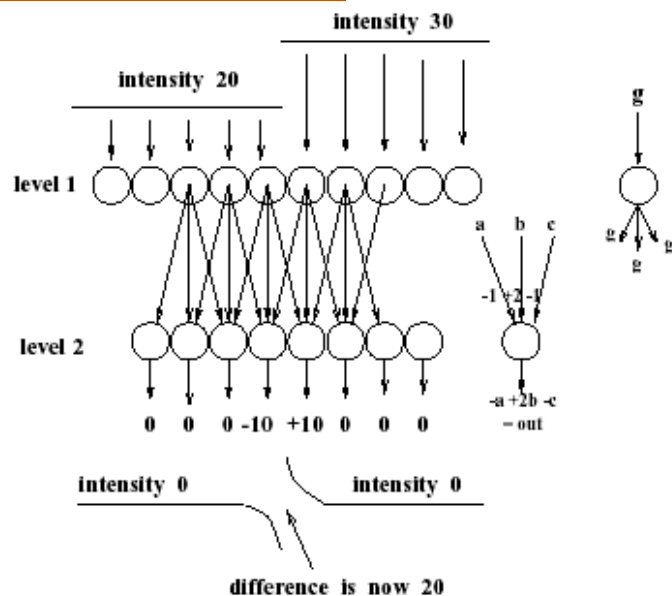


$-L(x, y) \longrightarrow$  Chapéu mexicano (*sombrero*)

$\longleftarrow$  Máscara 11x11 ( $\sigma^2=2$ )

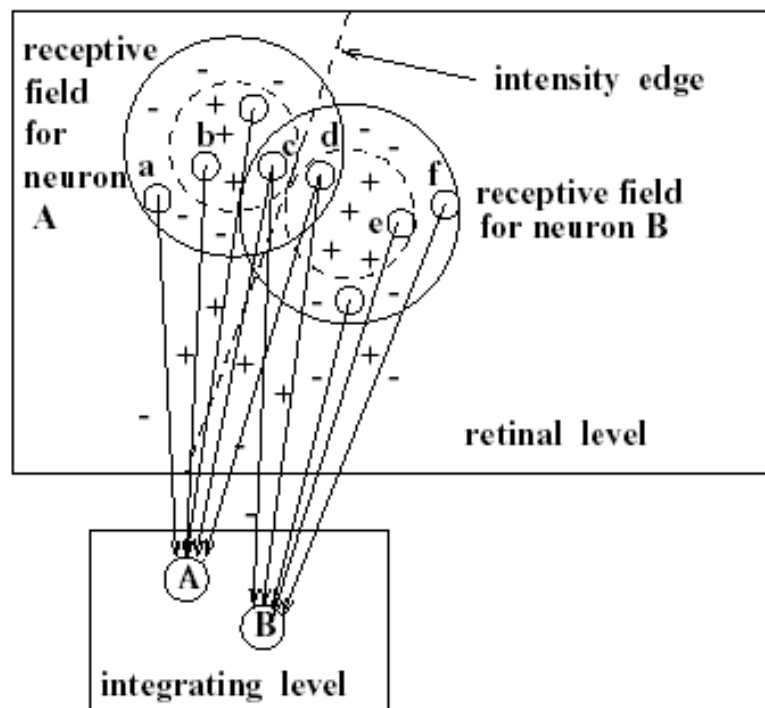
0	0	0	-1	-1	-2	-1	-1	0	0	0
0	0	-2	-4	-8	-9	-8	-4	-2	0	0
0	-2	-7	-15	-22	-23	-22	15	-7	-2	0
-1	-4	-15	-24	-14	-1	-14	-24	-15	-4	-1
-1	-8	-22	-14	52	103	52	-14	-22	-8	-1
-2	-9	-23	-1	103	178	103	-1	-23	-9	-2
-1	-8	-22	-14	52	103	52	-14	-22	-8	-1
-1	-4	-15	-24	-14	-1	-14	-24	-15	-4	-1
0	-2	-7	-15	-22	-23	-22	15	-7	-2	0
0	0	-2	-4	-8	-9	-8	-4	-2	0	0
0	0	0	-1	-1	-2	-1	-1	0	0	0

# Modelo neuronal e o efeito das bandas de Mach



Bandas de Mach

- Células da retina (nível 1) são sensíveis à intensidade luminosa
- Células de integração (nível 2) são sensíveis às transições de intensidade



- Filtro LOG ajuda a explicar o SVH (baixo nível)
  - Objectivo primeiro é a construção do esboço fundamental (*primal sketch: lines, edges, blobs*)
- Análise multiresolução
  - filtragem LOG, com elevado  $\sigma$ , permite a detecção das estruturas principais existentes na imagem, enquanto que os detalhes se obtêm fazendo o processamento com  $\sigma$  pequeno.



original



smoothed  $\sigma = 4$



smoothed  $\sigma = 1$

# Agrupamento perceptual - linhas virtuais



Linhas virtuais em imagens reais

Sigmas altos detectam contornos fortes e sigmas mais baixos detectam mais detalhe.

A fusão dos níveis é realizada em níveis superiores da percepção